

Die in zwei charakteristischen Querschnitten der Schale auftretenden Spannungen sind in **Bild 3** dargestellt. Die resultierenden Spannungen im Punkt A, das heißt für $x = -1/2$, sind

$$\sigma_{IR} = (1 + 6 \frac{a_0}{\delta}) \sigma_1 = - \frac{k_h (1 + 6 \frac{a_0}{\delta}) \rho_t g b d}{4 (A_b + k_h b \delta)} [z - z_0 (1 - e^{-z/z_0})] \quad (18a),$$

$$\sigma_{2R} = \sigma_2 + 6 \nu \frac{a_0}{\delta} \sigma_1 = \frac{\rho_t g k d z_0}{2 \delta} (1 - e^{-z/z_0}) - \frac{6 \nu k_h \frac{a_0}{\delta} \rho_t g b d}{4 (A_b + k_h b \delta)} [z - z_0 (1 - e^{-z/z_0})] \quad (18b)$$

und im Punkt B, für $x = 1/2$:

$$\sigma_{IR} = (1 - 6 \frac{a_0}{\delta}) \sigma_1 = - \frac{k_h (1 - 6 \frac{a_0}{\delta}) \rho_t g b d}{4 (A_b + k_h b \delta)} [z - z_0 (1 - e^{-z/z_0})] \quad (19a),$$

$$\sigma_{2R} = \sigma_2 - 6 \nu \frac{a_0}{\delta} \sigma_1 = \frac{\rho_t g k d z_0}{2 \delta} (1 - e^{-z/z_0}) + \frac{6 \nu k_h \frac{a_0}{\delta} \rho_t g b d}{4 (A_b + k_h b \delta)} [z - z_0 (1 - e^{-z/z_0})] \quad (19b).$$

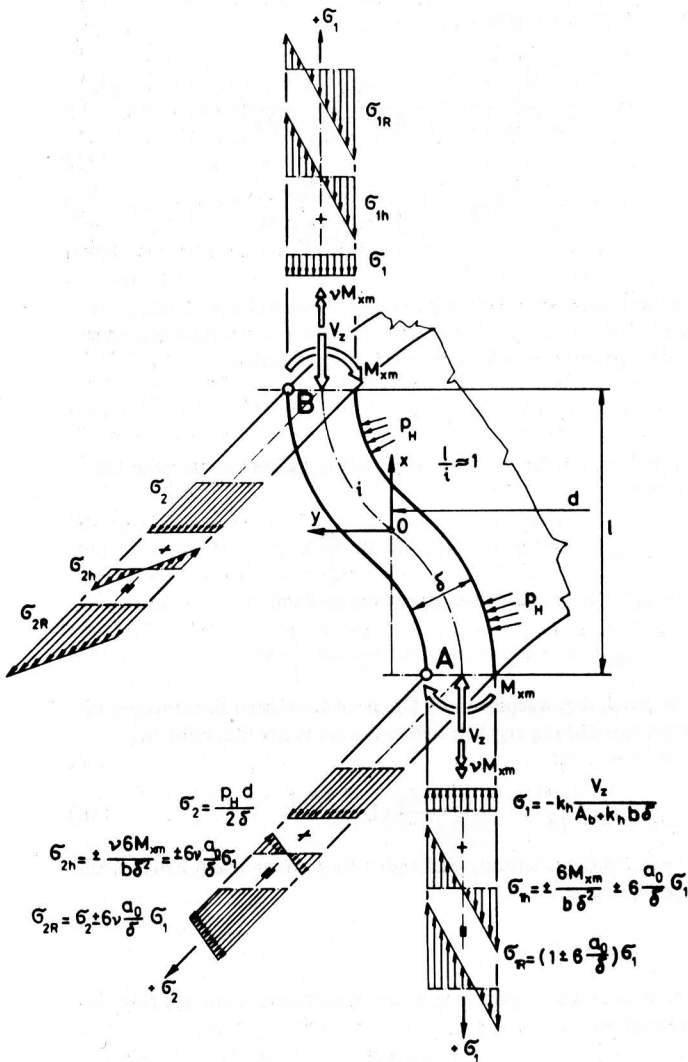


Bild 3. An der gewellten Schale wirkende Belastungen und dadurch hervorgerufene Spannungen.

3. Versuche und Ergebnisse

Zur Untersuchung des Verhaltens der Schüttung und der im Silo hervorgerufenen Spannungen wurden Dehnungsmessungen durchgeführt. Die Versuche haben unter Betriebsbedingungen während des Füllens stattgefunden.

Charakteristische Daten des Silos:

Material	St 37.2
Höhe	H = 19410 mm
Durchmesser	d = 6260 mm
Dicke der Schale	$\delta = 2,5$ mm
weitere Merkmale	der gewellten Schale $a_0/\delta \approx 1$; $k_h \approx 0,157$; $l \approx 60$ mm.

Die Mantelfläche wurde mit 28 Rippen mit einer Querschnittsfläche $A_b = 1104$ mm² in Abständen von $b = 702$ mm verstärkt. Der Silo wurde mit nassem zerknicktem Mais mit einer Dichte von $\rho_t = 900$ kg/m³ beschickt. Die Befüllung wurde zentral und kontinuierlich vorgenommen, die Oberfläche mit Hilfe einer Fräse waagrecht gehalten.

Gemessen wurde die Dehnung, wozu Dehnungsmessstreifen an der Außenfläche des Silomantels und an Rippen angebracht waren. Die Anordnung der Meßstellen ist aus **Bild 4** ersichtlich. An den Meßstellen wurden bei verschiedenen Schüttungshöhen die Dehnungen registriert, nach Mittelwertbildung das Hookesche Gesetz angewandt und die Spannungen σ_b , σ_{IR} , σ_2 berechnet.

Die Membranspannung σ_2 wurde als Mittelwert der resultierenden Spannungen im Punkt A und B bestimmt. Das Verhalten charakteristischer Werte der Konstruktion ist in **Tafel 1** und **Bild 5 bis 7** dargestellt.

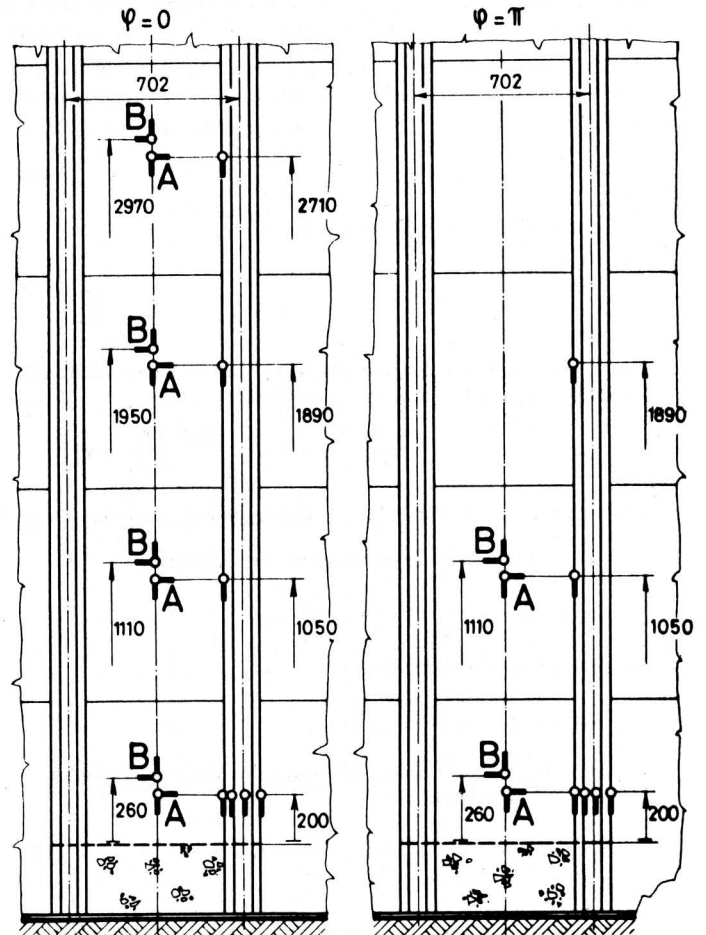


Bild 4. Anordnung der Meßstellen für die Dehnungsmessung.

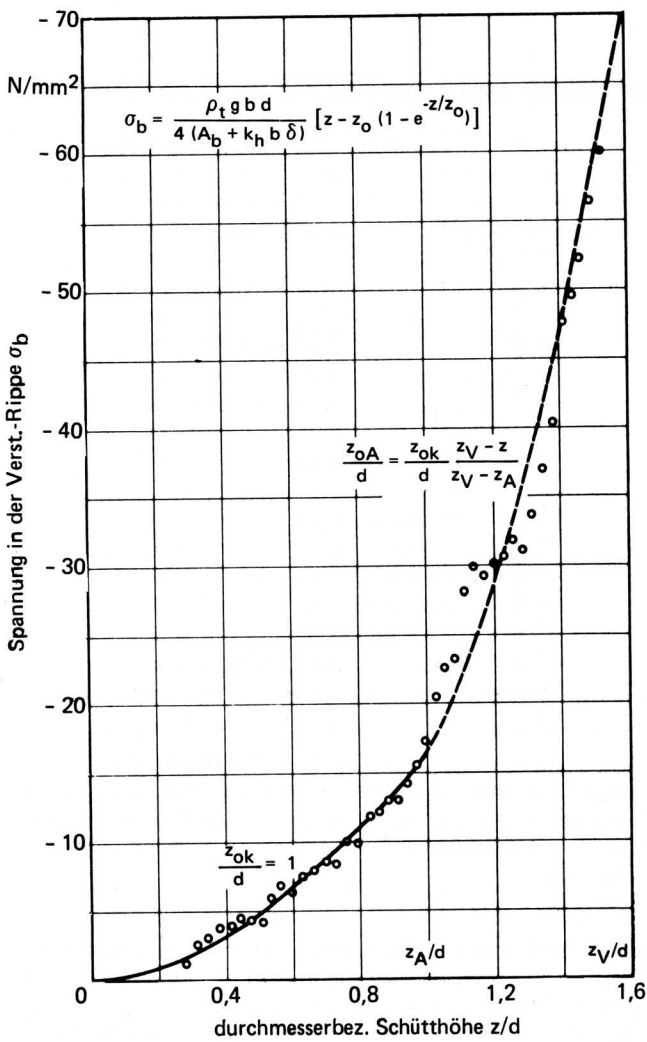


Bild 5. Spannungen in den Versteifungsrippen in Abhängigkeit von der auf den Silodurchmesser bezogenen Höhe der Schüttung.

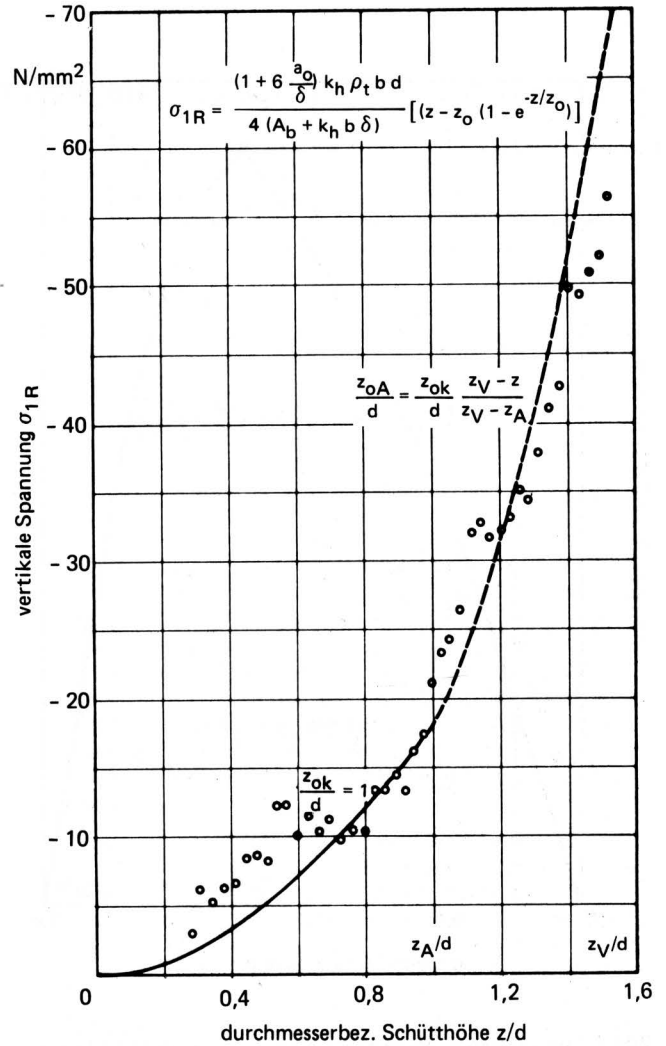


Bild 6. Vertikale Spannungen in der Randfaser der gewellten Schale in Abhängigkeit von der auf den Silodurchmesser bezogenen Höhe der Schüttung.

z/d	σ_b N/mm ²	σ_{1R} N/mm ²	σ_2 N/mm ²	z/d	σ_b N/mm ²	σ_{1R} N/mm ²	σ_2 N/mm ²
0,022			2,26	0,828	- 11,85	- 13,24	19,10
0,053			3,46	0,856	- 12,16	- 13,28	20,72
0,084			4,35	0,888	- 13,08	- 14,42	21,12
0,118			5,74	0,916	- 12,98	- 13,18	23,07
0,150			6,41	0,946	- 14,21	- 16,08	23,38
0,183			7,68	0,973	- 15,55	- 17,30	23,56
0,214			8,93	1,002	- 17,20	- 20,94	22,18
0,245			9,35	1,032	- 20,50	- 23,23	21,83
0,281	- 1,24	- 2,96	8,39	1,058	- 22,54	- 24,26	21,27
0,311	- 2,68	- 6,15	7,23	1,088	- 23,22	- 26,41	19,88
0,346	- 3,09	- 5,24	8,94	1,117	- 28,12	- 32,02	17,55
0,379	- 3,91	- 6,26	8,91	1,145	- 28,94	- 32,74	17,08
0,411	- 4,02	- 6,67	9,70	1,175	- 29,25	- 31,71	18,14
0,443	- 4,53	- 8,44	9,74	1,204	- 30,18	- 32,28	18,60
0,476	- 4,32	- 8,71	10,34	1,235	- 30,59	- 33,07	19,91
0,505	- 3,91	- 8,23	11,46	1,262	- 31,83	- 35,11	19,92
0,533	- 5,97	- 12,25	8,96	1,291	- 31,11	- 34,24	21,59
0,566	- 6,80	- 12,37	9,69	1,322	- 33,68	- 37,77	20,65
0,597	- 6,28	- 9,93	12,20	1,351	- 36,98	- 41,00	18,45
0,631	- 7,62	- 11,47	12,63	1,380	- 40,38	- 42,55	17,81
0,664	- 7,93	- 10,47	14,24	1,410	- 47,69	- 49,72	10,72
0,696	- 8,55	- 11,31	15,13	1,440	- 49,54	- 49,25	10,05
0,727	- 8,45	- 9,74	17,70	1,467	- 52,22	- 50,81	8,10
0,762	- 10,09	- 10,49	18,50	1,497	- 56,44	- 52,05	5,55
0,793	- 9,79	- 10,31	20,21	1,523	- 60,15	- 56,24	2,93

Aus den Bildern ist ersichtlich, daß die Spannungen in Abhängigkeit von der Höhe der Schüttung z/d bedeutende Veränderungen aufweisen, d.h. daß in der Nähe der Schüttungshöhe z_A , für $z \approx d$, in den Spannungen ein Knick auftritt, weiterhin daß nach dem Erreichen der Höhe z_V , für $z \approx 1,6 d$, das eingefüllte Material sich beinahe vollständig an dem Mantel und den Rippen abstößt.

Diese Erscheinungen sind durch die während des Füllens periodisch auftretende Verdichtung und Gewölbebildung zu erklären. Es ist sicherlich erwähnenswert, daß die Schüttdichte im Labor in Abhängigkeit vom Maß der Verdichtung Werte im Bereich von 590 bis 760 kg/m³ erreichte, im Silo aber 900 kg/m³ gemessen wurden.

4. Feststellungen und Schlußfolgerungen

Aufgrund der Ergebnisse der Dehnungsmessungen ist festzustellen, daß der Koeffizient $z_0 = d/4 k \mu$, der die Spannungsverhältnisse bestimmt, eine von der Höhe der Schüttung abhängige sich periodisch ändernde Größe ist. Das heißt, daß die Berechnungsgleichungen, die zunächst unter der Annahme $z_0 = \text{const.}$ aufgestellt wurden, verändert werden müssen.

Tafel 1. Aus Dehnungsmessungen berechnete Spannungen in der Versteifungsrippe (σ_b) und vertikale (σ_{1R}) und in Umfangsrichtung wirkende Spannungen (σ_2) in der gewellten Schale in Abhängigkeit von der auf den Silodurchmesser bezogenen Höhe der Schüttung (z/d).

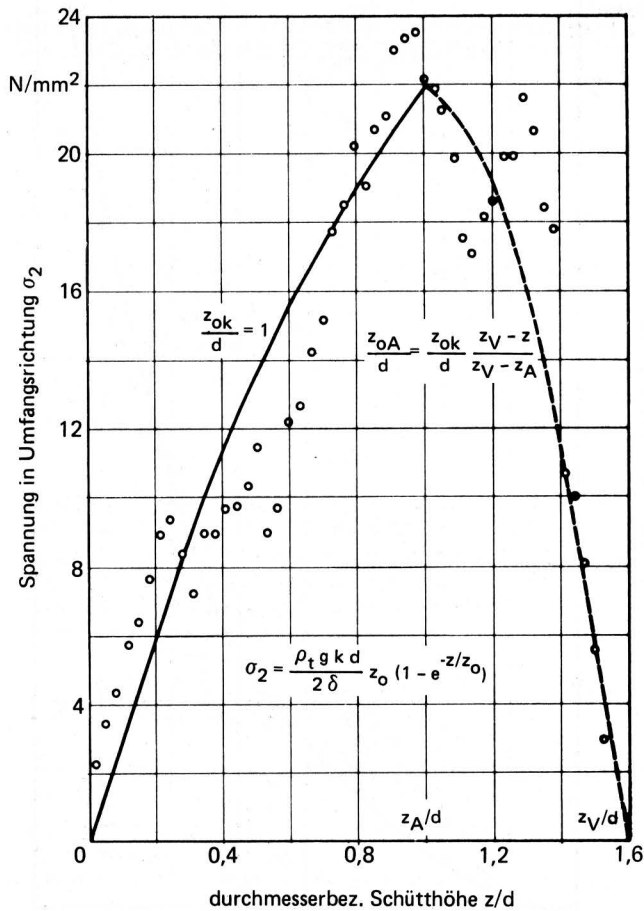


Bild 7. Spannungen in der gewellten Schale in Umfangsrichtung in Abhängigkeit von der auf den Silodurchmesser bezogenen Höhe der Schüttung.

Wenn wir die Spannung innerhalb der Schüttung und im Silo untersuchen, können wir in Abhängigkeit von der Höhe der Schüttung drei charakteristische Zustände feststellen.

Der Anfangszustand liegt, entsprechend den Messungen, im Bereich der Schüttungshöhe $0 < z \leq z_A$; hier ist die Annahme $z_0 \equiv z_{0k} \approx \text{const. gültig}$.

Im Bereich $z_A < z \leq z_V$ liegt der Übergangszustand, hier ist die Annahme $z_0 = \text{const.}$ nur für diskrete Abschnitte gültig, in dem ganzen Bereich kann man die Veränderungen von z_0 mit Hilfe folgender Funktion beschreiben:

$$z_0 \equiv z_{0A} \approx z_{0k} \frac{z_V - z}{z_V - z_A}$$

Der Endzustand tritt im Bereich $z > z_V$ auf, wobei die Näherung $z_0 \equiv z_{0V} \approx 0$ zulässig ist.

Entsprechend den vorangegangenen Ausführungen wurde festgestellt, daß jeder beliebige Querschnitt des Silos sich im Verlaufe des Füllens nacheinander im Anfangs-, Übergangs- bzw. Endzustand befinden kann, abhängig von der Höhe der Schüttung. Diese Betrachtungsweise des Befüllvorganges und die Reaktion der Silo-konstruktion ermöglicht die Verwendung der abgeleiteten Beziehun-

	z/d	z_0/d	σ_b N/mm ²	σ_{1R} N/mm ²	σ_2 N/mm ²
Anfangszustand	0		0	0	0
	0,1		- 0,21	- 0,23	3,29
	0,2		- 0,82	- 0,90	6,27
	0,3		- 1,79	- 1,97	8,97
	0,4		- 3,09	- 3,39	11,41
	0,5	1,0	- 4,69	- 5,15	13,61
	0,6		- 6,55	- 7,20	15,61
	0,7		- 8,65	- 9,50	17,42
	0,8		- 10,97	- 12,05	19,05
	0,9		- 13,49	- 14,82	20,53
	1,0		- 16,19	- 17,79	21,87
Übergangszustand	1,1	0,8333	- 21,53	- 23,66	21,13
	1,2	0,6667	- 28,32	- 31,12	19,25
	1,3	0,5000	- 36,85	- 40,49	16,01
	1,4	0,3333	- 47,17	- 51,83	11,36
	1,5	0,1666	- 58,69	- 64,45	5,76
	1,6	0	- 70,42	- 77,38	0

Tafel 2. Mit Hilfe der abgeleiteten Gleichungen berechnete Spannungen in der Versteifungsrippe (σ_b) sowie vertikale (σ_{1R}) und in Umfangsrichtung wirkende Spannungen (σ_2) in der gewellten Schale als Funktion der auf den Silodurchmesser bezogenen Höhe der Schüttung.

gen für die Bestimmung der Spannungen und der Druckkräfte im Silo, wenn die jeweils gültigen Werte von z_0 angesetzt werden. Auf diese Weise wurden für den untersuchten Fall die Spannungen σ_b , σ_{1R} und σ_2 aus den Gln. (11), (15) und (16) berechnet mit Hilfe des Koeffizienten $k = 0,5$ (Verhältnis von senkrechten zu waagerechten Spannungen) – bzw. unter Verwendung der Meßergebnisse z.B. aus Bild 5, wo die Größen $z_{0k}/d = 1$, $z_A/d = 1$ und $z_V/d = 1,6$ abgelesen werden können. Es ergibt sich aus den Werten $z_{0k}/d = 1$, und $k = 0,5$ für den Anfangszustand eine Mantelreibung von der Größe $\mu = 0,5$.

Die berechneten Spannungen sind in Tafel 2 zusammengefaßt und in den Bildern 5 bis 7 als Kurvenzüge dargestellt. Beim Vergleich der berechneten Werte mit den Meßergebnissen läßt sich feststellen, daß die Berechnungsmethode eine zuverlässige Näherung ergibt.

Anhand der aufgeführten Ergebnisse von Messung und Berechnung kann man behaupten, daß die entwickelten Gleichungen zur Berechnung der Spannungen im Silo und die Annahmen zum Verhalten der Schüttung allgemein gültig sind und in ähnlichen Fällen für die Konstruktion von Silos eine zuverlässige Methode bieten.

Schrifttum

Bücher sind durch ● gekennzeichnet

- [1] Janssen, H.: Versuche über Getreidedruck in Silozellen. Z. VDI Bd. 39 (1895) Nr. 39, S. 1045/49.
- [2] ● Love, H.: The mathematical theory of elasticity. Oxford: Univ. Press 1952.
- [3] ● Timoshenko, S.: Theory of plates and shells. New York: McGraw Hill 1959.